

金沢大学工学部

正員

柳島重正

シ

シ

○川村満紀

1. まえがき

疲労は舗装用材料としてのソイルセメントのおもな破壊原因の1つと考えられている。したがって、ソイルセメント路盤を含む舗装の設計にあたってはソイルセメントの疲労特性を考慮に入れる必要がある。ソイルセメントのくり返し荷重による疲労に関する研究としては著者らによってすでに発表された報告¹⁾およびBofingerによる研究がみられるが、荷重の種類(圧縮、引張、曲げ)、荷重条件、土の種類およびセメント量など考慮すべき要因が多く、未解決の問題が多く残している。

本報告は最近比較的高い強度のソイルセメントが要求されていることを考慮に入れて、目標7日材令圧縮強度が30kg/cm²になるソイルセメントの疲労特性について20kg/cm²に関する結果²⁾と比較しながら、セメント量が疲労特性におよぼす影響について実験的検討を加えたものである。

2. 実験概要

目標7日材令強度が30kg/cm²になるように実験により配合を決定した結果、砂質土および粘性土に対してはそれぞれ必要セメント量は7.6%および28.0%である。供試体は温度20±1°C、相対湿度85%の恒温恒湿室中で、硫酸ナトリウムパラフィンワックスにより封押された状態で養生した。くり返し荷重は油圧式疲労試験機(サーボパルサー EHF-10型 島津社製)によってあたえられ、くり返し載荷速度は毎分300サイクルである。

疲労実験中の供試体からの水分の蒸発を防ぐために、供試体をゴムスリーブによって密封している。応力条件は静的破壊強度(30kg/cm²)に対する比率で (i)下限0.1に対して上限 0.70, 0.75, 0.80, 0.85, 0.90

(ii)下限0.3に対して上限0.75, 0.80, 0.85, 0.90, (iii)下限0.5に対して上限0.80, 0.85, 0.90 (iv)下限0.7に対して上限0.85, 0.90, 0.95の各組合せである。

3. 実験結果と考察

3.1 初期破壊点ひずみ

疲労破壊供試体の全ひずみーくり返し回数関係にあらわれる破壊点近くの折点によて定義される初期破壊点ひずみは図-1および図-2に示される。砂質土は平均約3.5×10⁻³、粘性土は約8.0×10⁻³なる値を示す。20kg/cm²強度のソイルセメント(砂質土は平均約5.5×10⁻³、粘性土は約8.0×10⁻³)と比較すると、粘性土はほとんど同じ大きさの初期破壊点ひずみをもつが、砂質土では30kg/cm²強度のソイルセメントの方が40%程度小さい値を示す。このことは砂質土使用のソイルセメントの初期破壊点ひずみはセメント量によって大きく変化するが、粘性土ではセメント量によってほとんど変化がないことを示している。

初期破壊点ひずみはくり返し荷重によてソイルセメント供試体内部に生じたDamageが破壊へと急速に進展はじめるときのひずみと考えられるので、砂質土と粘性土とではその疲労破壊のメカニズムにかなりの差があることがわかる。

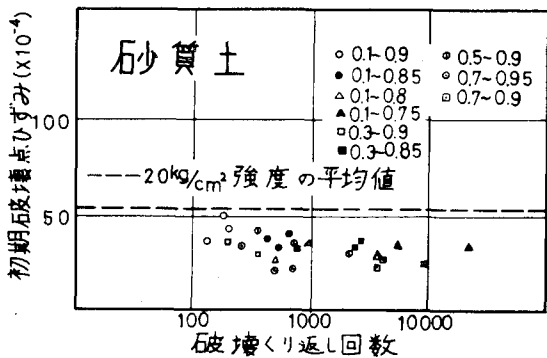


図-1 初期破壊点ひずみ

3.2 応力条件と破壊回数

各種のソイルセメントのS-N線図を示すと図-3のようである。この図から目標強度が 20kg/cm^2 と 30kg/cm^2 のソイルセメントはたがいにかなり異なるS-N線図を示すことがわかる。これらのS-N線図を直線として最小二乗法によってそれらの関係式を求めるとつぎのようになる。砂質土: $S = -0.11 \log N + 1.14$ (30kg/cm^2 強度), 粘性土: $S = -0.10 \log N + 1.10$ (30kg/cm^2 強度)。

砂質土: $S = -0.10 \log N + 1.07$ (20kg/cm^2 強度)。

粘性土: $S = -0.063 \log N + 0.95$ (20kg/cm^2 強度)。

これらの式から粘性土の 20kg/cm^2 強度を除けばたがいに平行な直線であることがわかる。しかし砂質土の 20kg/cm^2 強度のS-N線図は高応力レベルと比較的低い応力レベルで異なった勾配をもつてみなした方がよく、全体として 30kg/cm^2 強度のS-N線図は

20kg/cm^2 よりその勾配は大きいといえる。すなわち、応力に対する鏡軟性の度合は高い方の強度のソイルセメントの方が鈍くなるようである。圧縮強度が等しければ土の種類に關係なくほぼ平行な直線となり、 30kg/cm^2 強度の方が 20kg/cm^2 強度より同一応力レベルに対してかなり破壊回数は大きくなる。疲労破壊に対する応力振幅の影響をみるために Goodman の図をえがくと図4、図5、および図6のようになる。強度による差が明らかである。

3.3 応力条件と全ひずみ速度

図-7および図8は各応力条件に対する全ひずみ速度を横軸に応力の下限の強度に対する比をとってえがいたものである。破壊限界を示す直線はほぼ平行に低下しており、砂質土、粘性土ともに強度が 30kg/cm^2 になると、強度によって、破壊限界ひずみ速度がほぼ半減していることがわかる。同一の上限応力比と結んだ直線の勾配は粘性土では両強度間に大きな差はないが、砂質土では 30kg/cm^2 強度は 20kg/cm^2 強度よりもかなり小さい。

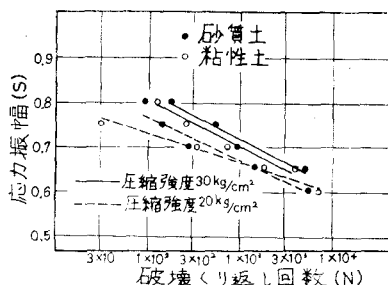


図-3 ソイルセメントのS-N線図

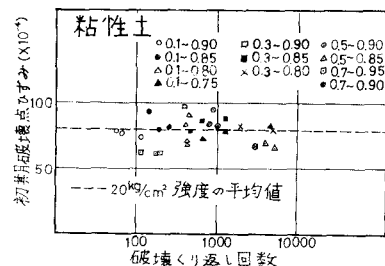


図-2 初期破壊点ひずみ

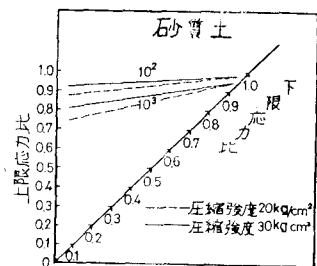


図-4 Goodmanの図

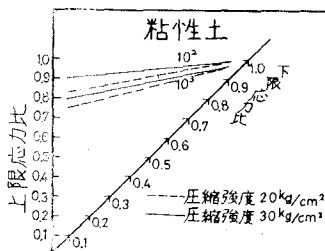


図-5 Goodmanの図

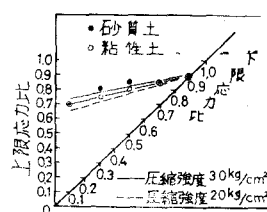


図-6 Goodmanの図

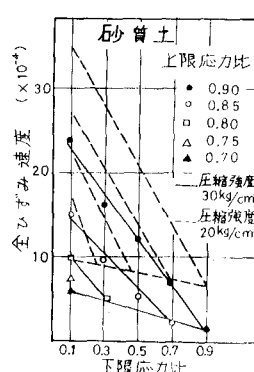


図-7 応力条件と全ひずみ速度

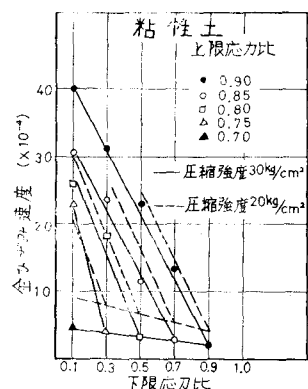


図-8 応力条件と全ひずみ速度